

Resolução Numérica das Equações de Águas Rasas 1D pelo Método de Galerkin Descontínuo

Robson Carlos de Moura Junior¹, Maicon Ribeiro Correa²
IMECC/UNICAMP, Campinas, SP

1 Introdução

As equações de águas rasas unidimensionais modelam o fluxo não-estável de um fluido newtoniano incompressível em canais abertos e são dadas pela conservação da massa e do momento linear. Estas equações são usualmente chamadas de equações de Saint-Venant, nome que é devido ao engenheiro francês Adhémar Jean Claude Barré de Saint-Venant, que as publicou pela primeira vez em 1871.

Para um canal retangular uniforme de comprimento 1 e um intervalo de tempo $(0, T)$, as equações de Saint-Venant são escritas por

$$\frac{\partial h}{\partial t} + \frac{\partial q}{\partial x} = 0, \quad (x, t) \in (0, 1) \times (0, T); \quad (1)$$

$$\frac{\partial q}{\partial t} + \frac{\partial}{\partial x} \left(\frac{q^2}{h} + \frac{gh^2}{2} \right) = gh \left(-\frac{\partial z_b}{\partial x} - \frac{n^2 q |q|}{R^{4/3} h} \right), \quad (x, t) \in (0, 1) \times (0, T]. \quad (2)$$

As variáveis procuradas são a profundidade da água h , e a vazão q . Os demais termos são a aceleração gravitacional g , a elevação do leito $z_b(x)$, o coeficiente de Manning n e o raio hidráulico da seção transversal R .

Podemos escrever as equações (1) e (2) na forma de lei de balanço

$$\mathbf{u}_t + \mathbf{f}(\mathbf{u})_x = \mathbf{s}(\mathbf{u}(x, t)), \quad \text{em } (0, 1) \times (0, T); \quad (3)$$

$$\mathbf{u}(x, 0) = \mathbf{g}(x), \quad \text{para todo } x \in (0, 1). \quad (4)$$

E condições de fronteira adequadas, onde

$$\mathbf{u} = \begin{bmatrix} h \\ q \end{bmatrix}, \quad \mathbf{f}(\mathbf{u}) = \begin{bmatrix} q \\ \frac{q^2}{h} + \frac{gh^2}{2} \end{bmatrix}, \quad \mathbf{s}(\mathbf{u}) = \begin{bmatrix} 0 \\ gh \left(-\frac{\partial z_b}{\partial x} - \frac{n^2 q |q|}{R^{4/3} h} \right) \end{bmatrix}. \quad (5)$$

Seja $\{x_{j-1/2}, x_{j+1/2}\}_{j=1}^N$ uma partição do intervalo $(0, 1)$ com intervalos da partição $I_j = (x_{j-1/2}, x_{j+1/2})$, e tamanho $\Delta x_j = x_{j+1/2} - x_{j-1/2}$. Cada intervalo I_j será um *elemento* do nosso domínio espacial $(0, 1)$. Iremos aproximar a solução exata por uma solução numérica em cada elemento I_j do domínio. Esta solução numérica em cada intervalo I_j pertencerá a um subespaço de dimensão finita de $L^2(0, 1)$, que chamaremos de espaço de aproximação V_h .

O subespaço de dimensão finita de $L^2(0, 1)$ utilizado no método é o espaço de polinômios de grau até k .

$$V_h := V_h^k := \{v \in L^2(0, 1); v|_{I_j} \in P^k(I_j), j = 1, 2, \dots, N\}. \quad (6)$$

¹robson.ejr@gmail.com

²maicon@ime.unicamp.br

A formulação variacional local do problema (3)-(4) é dada por

$$\int_{x_{j-1/2}}^{x_{j+1/2}} \partial_t u_{h,i}(x, t) v_h(x) dx - \int_{x_{j-1/2}}^{x_{j+1/2}} f(u_{h,i}(x, t)) \partial_x v_h(x) dx + f(u_{h,i}(x_{j+1/2}, t)) v_h(x_{j+1/2}) - f(u_{h,i}(x_{j-1/2}, t)) v_h(x_{j-1/2}) = 0, \quad i = 1, 2; \quad (7)$$

$$\int_{x_{j-1/2}}^{x_{j+1/2}} u_{h,i}(x, 0) v_h(x) dx = \int_{x_{j-1/2}}^{x_{j+1/2}} g(x) v_h(x) dx, \quad i = 1, 2. \quad (8)$$

Queremos obter uma solução aproximada $u_h = [u_{h,1}, u_{h,2}]^T$ onde $u_{h,1}, u_{h,2} \in V_h$ e tal que a formulação variacional seja válida para $u_{h,1}$ e $u_{h,2}$. A formulação variacional local (7)-(8) gera um sistema de EDO's acopladas que pode ser resolvido por um esquema de evolução temporal. O esquema utilizado será o SSP Runge-Kutta (SSP-RK). Outro problema a ser tratado é o surgimento de oscilações espúrias quando escolhemos a base de V_h sendo formada por polinômios de grau maior que 1, o que é previsto pelo Teorema de Godunov. Este problema é resolvido com o uso de limitadores de inclinação. Para mais informações, consulte [1].

Neste trabalho, iremos apresentar alguns experimentos numéricos para diferentes regimes de fluxo e leitos não horizontais para o problema de águas rasas 1D (1)-(2) seguindo o trabalho de [2]. Abaixo, seguem os resultados da simulação numérica da profundidade da água e da taxa de vazão de um salto hidráulico pelo método proposto. O canal possui 14m de comprimento e 0.46m de largura, com leito horizontal. Tomamos $n = 0.008 \text{ s/m}^{1/3}$. A profundidade da água no tempo inicial é de 0.031m, com taxa de vazão zero. Na montante do canal, uma profundidade da água de 0.031m, e uma descarga na taxa de vazão de $0.118 \text{ m}^2/\text{s}$ são especificados. Na jusante, a profundidade da água cresce de 0.031m para 0.265m em 50s, e permanece constante igual a 0.265m depois disto. Analisando as figuras 1a e 1b, podemos concluir que o método que obteve melhores resultados foi o método DG1 utilizando o fluxo numérico de Roe.

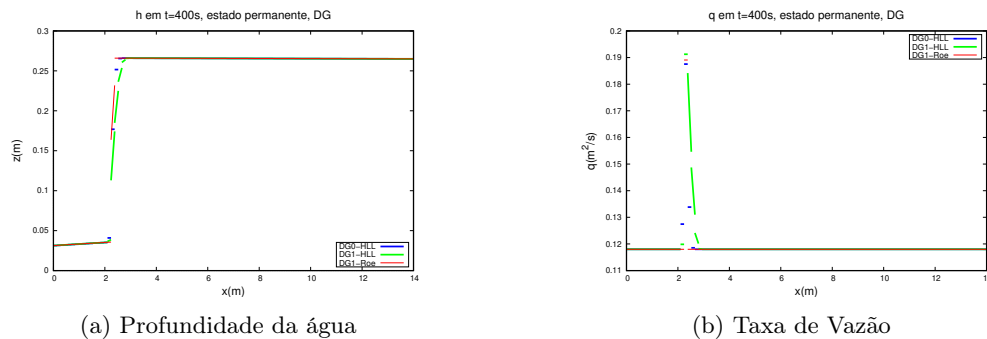


Figura 1: Profundidade da água e taxa de vazão para um salto hidráulico no tempo $t = 400s$

Referências

- [1] B. Cockburn e C. Shu. “TVB Runge-Kutta local projection discontinuous Galerkin finite element method for conservation laws. II. General framework”. Em: **Mathematics of computation** 52.186 (1989). ISSN: 0025-5718. DOI: {10.2307/2008474}.
- [2] A. A. Khan e W. Lai. **Modeling shallow water flows using the discontinuous Galerkin method**. CRC Press New York, 2014. DOI: <https://doi.org/10.1201/b16579>.